

(HUANJING KEXUE)

ENVIRONMENTAL SCIENCE

第34卷 第6期

Vol.34 No.6

2013

中国科学院生态环境研究中心 主办

科学出版社出版



ENVIRONMENTAL SCIENCE

第34卷 第6期 2013年6月15日

目 次

2008 ~ 2010 年北京城区大气 BTEX 的浓度水平及其 9、生成潜势
·····································
沈阳市降水化学成分及来源分析
笼养肉鸡生长过程 NH ₃ 、N ₂ O、CH ₄ 和 CO ₂ 的排放
碳化硅协同分子筛负载型催化剂微波辅助催化氧化甲苯性能 … 王晓晖,卜龙利,刘海楠,张浩,孙剑宇,杨力,蔡力栋(2107)
在氧化和还原氛围下脉冲电晕法降解二硫化碳废气 金圣,黄立维,李国平(2121)
模拟大气 CO, 水平升高对春季太湖浮游植物生理特性的影响 赵旭辉,汤龙升,史小丽,杨州,孔繁翔(2126)
HSPF 径流模拟参数敏感性分析与模型适用性研究 ************************************
基于非点源污染的水质监测方案研究
春季东海赤潮发生前后营养盐及溶解氧的平面分布特征 ······ 李鸿妹, 石晓勇, 陈鹏, 张传松(2159)
三峡库区大宁河枯水期藻细胞的时空分布 张永生,郑丙辉,王坤,姜霞,郑浩(2166) 郑沪诏和柳汾昭州东和复织公的藻类可利田州 辽佳劳 张生 传文等 玉叉岩 本好游 埃尼丽 社结会 暫 五 夏 (2176)
刚毛藻分解对上覆水磷含量及赋存形态的影响
反复扰动下磷在沉积物和悬浮物以及上覆水间的交换 ************************************
二峡库区王安文流表层沉积初多溴联本醚的分布特值 ······· 李芘,赵尚峰,周怀东,刘晓如,余丽芩,义武,张昉伟(2198) UV 和 H.Q, 联合消毒灭活饮用水中大肠杆菌研究 ····································
臭氧降解水中邻苯二甲酸二甲酯的动力学及影响因素 于丽,张培龙,侯甲才,庞立飞,李越,贾寿华(2210)
· 朗酸根对水体甲甲基汞光化字降解的影响····································
金属离子对 δ -MnO,去除对叔辛基酚抑制作用的研究 ————————————————————————————————————
核-完表面磁性印迹聚合物的制备及具对水中双酚 A 的特异性去除
纳滤预处理测定景观水体中溶解性有机氮质量浓度及其分布特征 … 于红蕾,霍守亮,杨周生,席北斗,昝逢宇,张靖天(2256)
改性水凝胶的制备及其对 Pb ²⁺ 、Cd ²⁺ 吸附性能研究
基于微气泡曝气的生物膜反应器处理废水研究 张磊,刘平,马锦,张静,张明,吴根(2277)
Fenton 法处理竹制品废水生化出水的研究
进水底物浓度对蔗糖废水产酸合成 PHA 影响研究 ····································
接种好氧颗粒污泥快速启动硝化工艺的过程研究
案解乃犯去陈尚祁良铅的影响囚系研究 ····································
我国淡水水体中双酚 A(BPA)的生态风险评价
麦穗鱼物种敏感性评价
桂林市交警头发 Hg、Pb 含量及分布研究 ····································
直流电场处理后隆线溞趋光性对 Cr ⁰ *和 Hg ⁻⁴ *的响应 ····································
7种树木的叶片微形态与空气悬浮颗粒吸附及重金属累积特征 刘玲,方炎明,王顺昌,谢影,杨聃聃(2361)
溶解氧对碳氮硫共脱除工艺中微生物群落影响解析 ····································
·····································
典型滨海湿地干湿交替过程氮素动态的模拟研究 韩建刚,曹雪(2383)
三峡岸区坐山建圩地区上展拥守里並属分布存证及未嫁切先
北京市不同区位耕作土壤中重金属总量与形态分布特征 陈志凡,赵烨,郭廷忠,王水锋,田青(2399)
李节变化对贡阳中不问切能区地表灰至里金属的影响····································
模拟氮沉降对森林土壤有机物淋溶的影响
中基 <i>B</i> 环树植对万泉场地土壤中多环方烂的异位增效优脱惨复研究 ··· 乔明明, 廖应, 验求明, 学振尚, 页件看, 张满云(2428) 胶质芽胞杆菌对印度芥菜根际土壤镉含量及土壤酶活性影响 ····································
长期施用粪肥蔬菜基地蔬菜中典型抗生素的污染特征
一一一一一一一一一一一一一一一一一一一一一一一一一一一一一一一一一一一一一
北京市生活垃圾转运站耗能和排污特征及其影响因素分析 王昭,李振山,冯亚斌,焦安英,薛安(2456)
-
富含中孔与酸性基团的生物质炭的制备与吸附性能 李坤权,李烨,郑正,张雨轩(2479)
生物灰坟个垓畔找冉温至效应滑力彻步评怕 ····································
溶解氧对碳氮硫共脱除工艺中微生物群落影响解析 1 + 5 + 5 + 5 + 5 + 5 + 5 + 5 + 5 + 5 +

我国淡水水体中双酚 A(BPA)的生态风险评价

汪浩1,2,冯承莲2,郭广慧2,3,张瑞卿2,3,刘跃丹2,吴丰昌2*

(1. 昆明理工大学环境科学与工程学院,昆明 650500; 2. 中国环境科学研究院环境基准与风险评估国家重点实验室, 北京 100012; 3. 中国科学院广州地球化学研究所,广州 510640)

中图分类号: X820.4 文献标识码: A 文章编号: 0250-3301(2013)06-2319-10

Ecological Risk Assessment of Bisphenol A in Chinese Freshwaters

WANG Hao^{1,2}, FENG Cheng-lian², GUO Guang-hui^{2,3}, ZHANG Rui-qing^{2,3}, LIU Yue-dan², WU Feng-chang² (1. College of Environmental Science and Technology, Kunming University of Science and Technology, Kunming 650500, China; 2. State Key Laboratory of Environmental Criteria and Risk Assessment, Chinese Research Academy of Environment Sciences, Beijing 100012, China; 3. Guangzhou Institute of Geochemistry, Chinese Academy of Sciences, Guangzhou 510640, China)

Abstract; Bisphenol A (BPA) has many toxic effects on aquatic organisms, of which the most obvious effect is the estrogenic effect. The data collected in the study were divided into two parts, based on the response of the tested organisms to the estrogenic effects of BPA and their exposed time, and the risk of BPA to Chinese aquatic water was assessed by using quotient method, quotient exponent and probability method, safety threshold value method and joint probability risk assessment, respectively. Similar results were derived from the above four methods. Aquatic organisms were more sensitive to the estrogenic effects of BPA than other toxic effects. The results of risk assessment from safety threshold value method were more accurate and confident than the other three methods. Using the chronic data of BPA's estrogenic effect on tested organisms as the endpoint for risk assessment in safety threshold value method, it was found that in 64.70% of the Chinese freshwaters more than 5% of aquatic organisms were affected by the estrogenic toxicity of BPA, and the maximum allowable concentration of BPA was 15.72 ng·L⁻¹. Using the acute data of such effects as endpoint in safety threshold value method, in about 20.43% volume of the Chinese freshwaters more than 5% of aquatic organisms were affected by the estrogenic toxicity of BPA, and the maximum allowable concentration was 2.24 × 10² ng·L⁻¹.

Key words: Bisphenol A (BPA); ecological risk assessment; freshwater; safety threshold value method; estrogenic effects

众多研究发现和证实了许多有机物质对生物有雌激素效应^[1,2],其中双酚 A(BPA)在工业生产、生活中较其他雌激素物质已被广泛生产使用,据统计,欧洲每年消耗约 69 万 t BPA^[3],且通过各种途径进入环境,危害水生生物,乃至人类的人体健康. 随着我国经济的发展,BPA 的生产和使用都加大了力度^[4,5],目前我国许多水体中已检测出浓度不等的BPA. 其浓度范围在 0.33 ~ 16 200 ng·L^{-1[6,2]}. 双酚 A 过量摄入能导致肌体内分泌活动紊乱,且影响生殖功能,破坏生殖系统,导致细胞癌变和器官畸形发育^[1,7]. 人体过量摄入 BPA 导致肌体肝细胞损伤以及部分器官产生肿瘤^[8-10].

生态风险评价是利用生态学、环境化学、环境

毒理学的原理和方法定量测定化合物对生态系统和特定区域危害程度的过程^[11]. 当生态系统受到一个或多个胁迫因素影响后,利用生态风险评价可以对生态系统受到的影响程度进行评估^[12]. 由于自然环境中 BPA 的稳定性受到许多自然因素的影响(如光照、温度、酸碱度等),目前国外部分国家只初步评价了 BPA 对水生生物的潜在风险^[13,14],而国内对 BPA 的风险评价开展较少.

收稿日期: 2012-09-24; 修订日期: 2012-11-26

基金项目: 国家自然科学基金项目(U0833603,41130743)

作者简介:汪浩(1987~),男,硕士研究生,主要研究方向为淡水水 体水质基准和污染物生态风险评价,E-mail:jeffwh87@ gmail.com

^{*} 通讯联系人,E-mail: wufengchang@vip.skleg.cn

本研究通过收集中国主要淡水水体中 BPA 暴露浓度数据,以及 BPA 对我国淡水生物的毒性数据,依据不同的毒性效应终点,分别评价了我国淡水水体中 BPA 对水生生物的潜在风险.

1 材料与方法

1.1 数据分析

1.1.1 毒性数据分析

本研究的毒性数据来源于 EPA ECOTOX 数据 库(http://www.epa.gov/ecotox/)和中国知网 (http://www.cnki.net/)文献等.数据筛选原则: ①受试物种主要由我国本地物种和在我国生殖繁衍 的外来引进物种构成. ②毒性实验条件为室温下淡 水流水暴露; ③急性毒性实验数据主要选取 24~96 h 的半致死浓度(lethal concentration to 50 percent of the population, LC₅₀)、半效应浓度(median effect concentration, EC₅₀)、最低观察效应浓度(lowest effect concentration, LOEC)以及无观察效应浓度(no observed effect concentration);慢性毒性实验数据主 要选取暴露时间超过 14 d 的 LC50、EC50、LOEC 值 以及 NOEC 值,在筛选数据过程中,如果一个生物有 多个符合要求的数据,取其几何均值来代表该物种 的生物毒性数据[15,16]. ④因不同的受试生物对外界 环境条件(如日照时间、酸碱度、水体硬度、水温 等)适应程度各异,且未报对效应终点有影响,本研 究只把筛选出的数据依据是否影响生物繁殖相关行 为[如诱导水生生物血清中卵黄蛋白原(VTG)的浓 度、性腺发育畸形、影响雌雄比例及配对行为、对 精细胞和卵细胞数量及活性的影响等]分类2组, 然后依据暴露时间的长短共分为 4 组. ⑤因 NOEC 值与 LOEC、EC50、LC50之间有明显差别,本研究将 筛选出的 NOEC 值乘以 2, 作为对应水生生物的 LOEC 值^[17]. ⑥剔除测试时间较早(2000 年以前) 以及影响数据整体正态分布等异常数据,并采用分 析软件 Origin 8,选取最佳数学模型评价我国水体中 BPA 的风险程度.

Crain 等^[18]把 BPA 对水生生物的雌激素效应数据依据对生物的性别比、对性腺发育和第二性特征的影响、对血清中 VTG 浓度的影响分为 3 类,并推导了 BPA 对水生生物的风险程度. Vandenberg等^[1]分析大量 BPA 对生物毒性的数据后,依据 BPA 是否对水生生物有雌激素效应分为两部分,分别为BPA 对水生生物的雌激素素效应和 BPA 对水生生物的其他毒性效应. 本研究依据上述的分类,收集

和整理了BPA 对我国水生生物的雌激素效应以及 其他毒性效应数据,分析我国淡水环境中BPA 对水 生生物的风险程度.

1.1.2 暴露数据分析

本研究收集了我国主要河流,淡水湖泊以及部分入海河口水体中 BPA 的暴露浓度数据. 数据的收集筛选原则:①检测方法与美国环境保护署(US EPA)的 BPA 分析方法或改进方法一致,其中 BPA 的检测方法主要是液相质谱联用(LC-ESI-MS/MS)或高效液相(HPLC)紫外检测器. ②所选水样数据为河流的典型断面采样数据,若个别暴露数据大于所有数据的10倍,或检测时间较早的数据,本研究认为异常值,并剔除. 检测时间较早的数据以及影响暴露数据,以保证数据能代表河流总体和局部水体 BPA 浓度分布特征. 为便于计算和分析,本研究用各暴露浓度最小值的1/2 为未检出点的浓度值[19,20].

1.2 风险表征

本研究采用确定性风险评价和不确定性风险评价,确定性风险评价的主要方法为商值法,商值法为半定量风险评价方法,即通过实测浓度与浓度标准的商值来分析生态系受到的影响,操作简单,但其评价结果有较大的不确定性;不确定性风险评价方法是基于人类对生态环境认知局限性,采用一定的评价方法降低不确定水平,量化污染物对生态环境的影响[21,22].本研究基于污染物对生物的毒性效应以及污染物在水体中的分布服从正态分布的原理,利用统计学方法定量化环境风险,不确定性生态风险评价方法主要包括商值概率法,安全阈值法、联合概率分布法[23].

1.2.1 确定性评价

商值法是一种初级风险评价方法. 因商值法在 选取毒性参考值以及测定暴露量时未综合考虑干扰 因素影响,只能用于粗略的风险评价. 危害商值 (HQ)的计算方法是:

$$HQ = c/TV$$

式中,HQ 为危险商值,c 为污染物的水体暴露浓度,TV 为污染物的毒性参考值,本研究采用各组水生生物的毒性数据的最小值作为 BPA 的毒性参考值^[1],风险程度可以划分为:当 HQ > 1 时,表明该物质对暴露生物潜在风险高;当 HQ < 0.1,说明该物质对暴露生物风险低^[24].又因水体中 BPA 与其他化合物相互作用以及底泥、生物的富集作用,本研究中,当 HQ > 0.3 时,表明水体中该化合物存在潜在风险^[25].

1.2.2 不确定风险评价

(1) 安全阈值评价(MOS₁₀)法 通过累积概率 和取对数化的暴露浓度和毒性浓度建立线性关系, 从图上直接分析污染物对水生生物的影响程度, 可以借助安全阈值(margin of safety, MOS₁₀)定量暴露浓度和毒性浓度的累积概率曲线重叠的程度. 计算方法:

$$MOS_{10} = SSD_{10}/EXD_{90}$$

式中,MOS₁₀为安全阈值,SSD₁₀为 10%的水生生物受到影响时的污染物浓度,EXD₉₀为自然水体中污染物在水体中累积浓度为 90% 对应的暴露浓度. MOS₁₀越大,表明毒性数据域暴露浓度重合度越高,潜在风险越大,一般取 MOS₁₀为 1 界定风险程度,MOS₁₀ > 1,表明无风险. 若 MOS₁₀ < 1,表明曲线重叠程度高,该化合物具有潜在风险. MOS₁₀越小,表明水生生物毒性累积概率分布模拟曲线与水体污染物累积分布曲线重合度越高,水生生物面临污染物的潜在危害风险值越大^[26].

(2) 商值概率分布法 通过比较暴露浓度和毒性浓度分布可以判定预期的商值大于或小于决定标准的概率^[26],能全面分析和评价我国淡水水体面临的生态风险程度. 商值概率分布法采用蒙特卡罗(Monte Carlo)随机抽样,模拟毒性浓度分布和暴露浓度分布,并预测商值的概率分布模型,商值概率分布的计算方法为:

HQD = ECD/SSD

式中,HQD 为商值分布,ECD 为暴露浓度分布,SSD 为毒性浓度分布.本研究采用对数化后的毒性浓度

和暴露浓度正态分布模型预测商值分布特征. 因考虑到不同化合物之间的相互作用以及生物累积效应,当污染物的商值大于 0.3 时表明污染物对生物的危害存在潜在风险^[25].

(3) 联合概率分布法 联合概率曲线法是依据 毒性数据以及暴露数据的分布特征,通过建立模型 分析自然水体中一定比例的生物受到污染物危害的 概率的生态风险评价方法. 该方法是以毒性数据的 累积概率为 x 轴,污染物暴露浓度的反累积概率为 y 轴,得到拟合曲线,该曲线反应了各危害水平下暴露浓度超过临界浓度的概率,即不同伤害水平下环境中的污染物对水生生物的风险程度. 当曲线越靠近坐标轴,说明生物受到伤害的潜在风险较小^[26].

1.3 统计方法

本研究使用 SPSS 软件对收集的毒性浓度和暴露浓度数据 Kolmogorov-Smirnov 和 Shapiro-Wilk 正态检验;采用 Crystal Ball 11.1 中的 Monte Carlo (10 000次) 拟合毒性数据和暴露数据概率分布和商值概率分布;采用 Origin Pro 8 展开安全阈值法分析;采用 Matlab 7.12 分析和绘制联合概率曲线.

2 结果与分析

2.1 数据分析

2.1.1 数据统计检验

本研究收集和筛选的数据除 BPA 整体毒性效应浓度数据外,经对数转化后符合正态分布模型(*P* > 0.05),所以采用对数化的效应浓度和暴露浓度数据进行生态风险评价(表 1).

表 1 数据正态分布检验结果

Table 1 Results of Kolmogorov-Smirnov and Shapiro -Wilk tests of the data

Table 1 Results of Rollingstov-Simmov and Shapiro - whice tests of the data					
检验对象	检验类型及显	 文献			
型型列象	Kolmogorov-Smirnov Shapiro-Wilk		—————————————————————————————————————		
水体暴露浓度数据	0. 200	0. 940			
整体毒性效应浓度数据	< 0.001	< 0.001			
雌激素效应-慢性浓度数据	0. 200	0. 264	[27 ~39]		
雌激素效应-急性浓度数据	0. 200	0. 108	[30,39,40 ~ 50]		
其他毒性效应-慢性浓度数据	0. 200	0. 383	[29,30,35,39,43,51 ~ 58]		
其他毒性效应-急性浓度数据	0. 200	0.081	[38,43,47 ~ 49,54,55,58 ~ 65]		

2.1.2 生物毒性数据分析

本研究通过收集和筛选,总共收集到了61个淡水水生生物毒性数据,按暴露终点效应是否与 BPA 的雌激素效应有关,分为雌激素效应和其他毒性效应,并按暴露时间的长短,分为急性毒性数据组和慢性毒性数据组,表 2 中给出对应的物种数量、效应浓度范围以及经对数转化后的数据.

2.1.3 水体毒性数据分布

本研究收集筛选了我国主要河流湖泊中 BPA 的 暴露浓度检测数据,采样个数为 155 个. 由表 3 可知,不同水体中 BPA 的含量也有较大差异性,我国淡水水体中 BPA 的浓度范围为 no detected ~ 4713.6 $\text{ng}\cdot\text{L}^{-1}$,算术平均值为 421.31 $\text{ng}\cdot\text{L}^{-1}$,本研究所收集的暴露数据在取对数后符合正态分布模型.

表 2 BPA 对水生生物的毒性数据分布特征

Table 2 Statistic distribution parameters for toxicity data of BPA to aquatic organisms

			BPA 对水生生物的毒性数据分布					
毒性效应分类		物种数	#用/ r-1	原始数据		经对数转换后的数据		
			范围/μg·L ⁻¹	均值/μg·L ⁻¹	均值/μg·L ⁻¹	标准差	均值	
雌激素效应	急性	13	0.23 ~22 828	3 883.23	4 171.82	2.56	1.21	
唯似系 XX <u>四</u>	慢性	14	0.015 ~7760	1 081.64	1 276.44	1.73	1.37	
其他毒性效应	急性	18	1 000 ~63 900	8 645.78	6 581.41	3.72	0.26	
民间每年双型	慢性	13	2.0 ~22 828	4 009.56	5 662.90	2.58	0.96	
整体毒性效应		58	0.015 ~63 900	4 713.33	5 052.29	2.72	1.12	

表 3 我国主要淡水水体中 BPA 的浓度分布特征1)

Table 3 Summary of BPA concentrations in surface waters of China

河流	亚芒人粉	浓度范围	原始数据/ng·L-1		经对数转	->- +:h	
刊流	采样个数	/ng•L ⁻¹	均值	标准差	均值	标准差	文献
温州市水体	8	0.01 ~ 3.16	1. 80	0. 59	0. 25	0. 12	[66]
杭州地区水体	20	0. 33 ~ 25. 09	10.73	7. 81	1. 03	0.43	[67]
钱塘江	2	7. 51 ~ 18. 3	12. 89	5. 38	1. 11	0. 19	[67]
富春江	2	6. 63 ~ 21. 88	14. 26	7. 63	1. 15	0. 26	[67]
九溪	2	6. 40 ~ 23. 21	14. 81	8. 41	1. 17	0. 28	[67]
筼筜湖	4	14. 2 ~ 31. 4	23. 81	4. 80	1. 38	0. 10	[68]
海河	13	19. 1 ~ 106	41. 90	_	1. 62	_	[69]
武汉附近水体	11	9. 2 ~ 198. 7	45. 22	40. 11	1.66	0.47	[70]
松花江	15	12. 97 ~ 206. 5	50. 92	26. 39	1.71	0. 21	[71]
胶州湾	17	3. 8 ~ 227. 6	78. 16	69.06	1. 89	0. 59	[72]
辽河	21	12. 3 ~ 755. 6	149. 80	_	2. 18	_	[73]
珠江	14	97. 8 ~ 540. 6	192. 79	95. 12	2. 29	0. 15	[74,75]
旅顺入海河口	2	23. 14 ~714. 70	368. 92	345. 78	2. 57	0.74	[76]
黄浦江	4	2. 38 ~ 1 920	509.37	705. 32	2.71	0. 87	[67,77]
黄河水	1	_	540.00	_	2. 73	_	[78]
滇池	10	0.7 ~4713.6	852. 01	820. 03	2. 93	0. 51	[79]
珠江三角洲鱼塘	9	960 ~4 510	3 294. 44	718. 52	3. 52	0. 13	[80]

1)"一"表示数据不可获得

2.2 风险表征结果

2.2.1 商值法评价

本研究采用各组的最小毒性浓度值为污染物的毒性参考值^[1,26].其中以BPA 雌激素效应为评价因子时,急性、慢性毒性数据分别选取 228 ng·L⁻¹、14.8 ng·L⁻¹为毒性参考值(TV);以BPA的其他毒性效应为评价因子时,急性、慢性毒性数据分别选取1000000 ng·L⁻¹和2000 ng·L⁻¹毒性参考值.表4为我国主要河流中BPA对水生生物不同毒性效应时风险商值(HQ)的统计结果.若以水生生物受到的BPA 雌激素效应为评价因子,水生生物长期暴露我国淡水水体中时,除温州市附近水源,其他水体的BPA的HQ均大于0.3,潜在风险水体占总水体的比例为94.12%,水生生物长时间暴露于该水体中,会受到BPA 雌激素效应的影响,表明我国淡水水体BPA的潜在风险高;水生生物短期暴露时,我国47.06%淡水水体对水生生物有潜在风险;以BPA

对水生生物的其他毒性效应为评价因子时,水生生物长期暴露我国淡水环境时,我国有 11.76% 的水体对水生生物有潜在风险;短期暴露时,我国所有淡水水体无风险. 依据商值法,本研究得到我国主要淡水水体 BPA 含量短时间不会导致水生生物大量死亡,但会导致水生生物受到 BPA 雌激素效应的干扰. 我国淡水水体中 BPA 短期暴露浓度不得超过 68.40 ng·L⁻¹,长期暴露浓度不应超过 4.44 ng·L⁻¹.

2.2.2 安全阈值评价(MOS₁₀)

本研究以 BPA 的暴露浓度为x 轴,以 BPA 在不同水体和生物体内的累积概率为y 轴,评价了我国水体 BPA 的风险程度. 图 1(a) 采用 BPA 雌激素效应的慢性浓度值作为评价因子,表明水生生物长期暴露且受害生物大于 5% 时,受到 BPA 雌激素作用的潜在风险是 64.70%;短期暴露受到该类干扰的风险是 20.43% [图 1(b)]. 采用 BPA 对水生生物

的其他毒性效应作为评价因子时,长期、短期暴露水生生物受到 BPA 毒害的潜在风险分别为12.40%、3.40% [图 1(c)和 1(d)].表5中给出了各拟合曲线以及线性相关系数 r^2 ,以及控制受损生物低于5%的风险值.以 BPA 对水生生物的雌激素效应为评价因子,水生生物长期期暴露和短期暴露时, MOS_{10} 依次为0.08 和1.36,不超过5%水生生

物受害(以 LOEC 为效应终点)时得到水体最大允许浓度分别为 31. 44 $\,\mathrm{ng}\cdot\mathrm{L}^{-1}$ 和 4. 47 × $10^2\,\mathrm{ng}\cdot\mathrm{L}^{-1}$; 因以 BPA 的其他毒性效应为评价因子,水生生物长期和短期暴露时, MOS_{10} 依次为 3. 16 和1 308. 07, 5% 水生生物受害时的风险水域比例分别为 12. 40% 和 3. 40%, 水体最大安全浓度分别为 1. 13 × $10^3\,\mathrm{ng}\cdot\mathrm{L}^{-1}$ 以及 1. $71\times10^6\,\mathrm{ng}\cdot\mathrm{L}^{-1}$.

表 4 商值法评价我国淡水水体中 BPA 的风险结果

Table 4 Ecological risk of BPA in Chinese freshwaters by using quotient method

	雌激素	 交 应	其他毒性效应		
评价结果	慢性	急性	慢性	急性	
TV/ng·L ⁻¹	14. 8	228	2 000	1 000 000	
存在风险水体所占比例/%	94. 12	47. 06	11.76	< 0.01	
水体安全浓度/ng·L-1	4. 44	68.40	6.00×10^2	3.00×10^5	

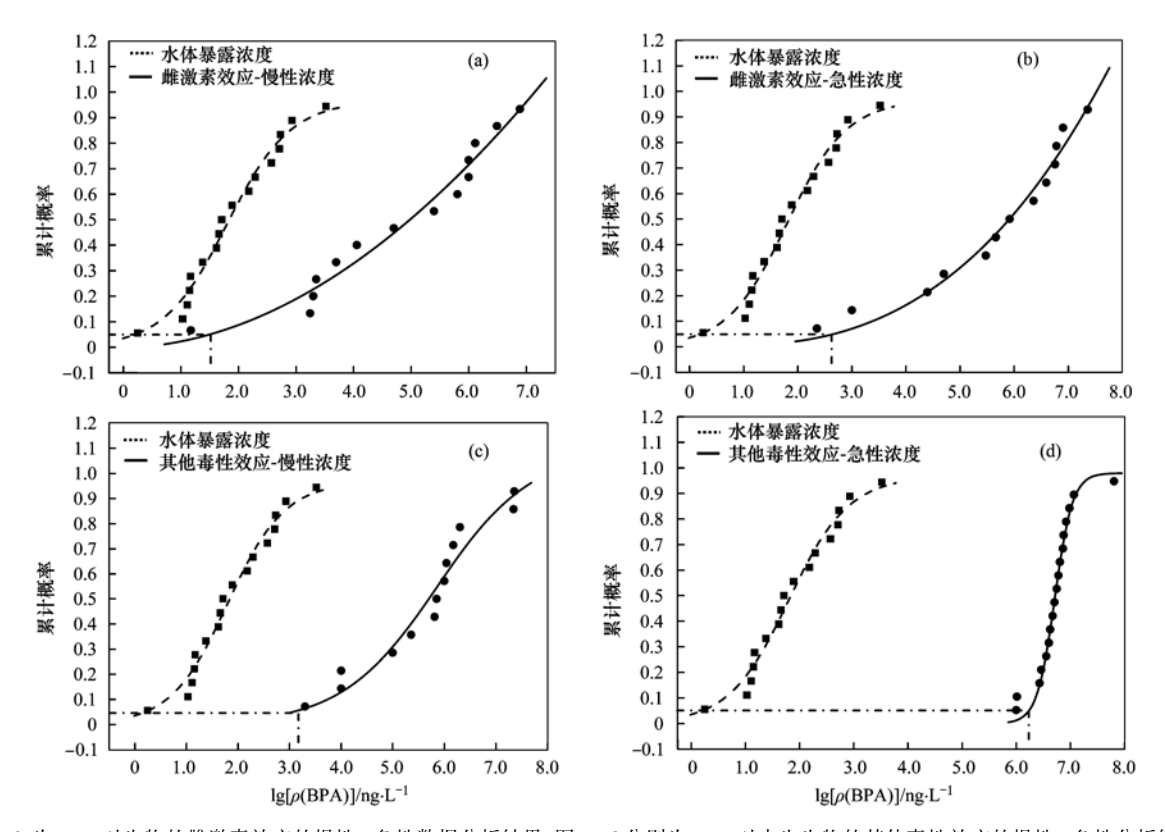


图 a、b 为 BPA 对生物的雌激素效应的慢性、急性数据分析结果,图 c、d 分别为 BPA 对水生生物的其他毒性效应的慢性、急性分析结果 图 1 我国淡水水体 BPA 的暴露浓度和毒性数据的累积概率分布

Fig. 1 Cumulative probability distributions of exposure concentrations and toxicity data in freshwaters of China

表 5 我国淡水水体中 BPA 的毒性数据以及暴露浓度的累积概率分布情况

Table 5 Details of cumulative probability distributions of exposure concentrations and toxicity data

拟合对象	拟合公式	r^2	MOS_{10}	风险水体比例1)/%	安全浓度上限/ng·L-1
水体暴露浓度	$y = a/(1 + be^{-kx})$	0. 98			
雌激素效应慢性数据	$y = V_{\max} x^n / (k^n + x^n)$	0.96	0.08	64. 70	31. 44
雌激素效应急性数据	$y = V_{\max} x^n / (k^n + x^n)$	0. 97	1. 36	20. 43	4.47×10^{2}
其他毒性效应慢性数据	$y = a/(1 + be^{-kx})$	0. 94	3. 16	12. 40	1.13×10^3
其他毒性效应急性数据	$y = a/(1 + be^{-kx})$	0. 99	1 308. 07	3. 40	1.71×10^6

¹⁾ 表示超过5% 水生生物受到 BPA 毒性危害时潜在风险水体比例

2.2.3 商值概率分布法分析

以 BPA 对水生生物的雌激素效应为评价因子, 慢性数据和急性数据的商值几何均值依次为 9.12 $\times 10^{-4}$ 和 1.35 $\times 10^{-4}$,风险商值大于 0.3 的水体约 占总水体比例的 15.00% 和 7.60%; 以 BPA 的其他 毒性效应为评价因子时,慢性数据和急性数据的商 值几何均值依次为 1.29×10⁻⁴和 9.33×10⁻⁶,风险 商值大于 0.3 时,风险水体比例分别为 4.75% 和 < 0.01%. 表明长期暴露条件下,约 15.00% 的淡水水 体对水生生物有雌激素效应的风险较高,4.75%的 水体会导致生物死亡;短期暴露下7.60%的淡水水 体对生物有雌激素效应,不足0.01%的水体会导致 生物死亡. 保护 95% 的水生生物时,以 BPA 的雌激 素效应的慢性、急性数据分别展开风险评价时,我 国水体的最大安全浓度分别为 $1.07 \times 10^2 \text{ ng} \cdot \text{L}^{-1}$ 、 1.02 × 10³ ng·L⁻¹, 以 BPA 的其他毒性效应(以 LOEC 值为效应终点)的急性、慢性数据分别进行 风险评价时,我国淡水水体的最大安全浓度分别为 3.63×10³ ng·L⁻¹、1.15×10⁶ ng·L⁻¹. 上述结果表 明:目前我国淡水水体中的 BPA 的暴露浓度对部分 敏感生物产生危害的风险较大,长期暴露具有致死 的风险.

2.2.4 联合概率风险评价

本研究以 BPA 毒性数据的累积概率为 x 轴,以 BPA 暴露浓度数据的反累积概率为 y 轴分别拟合联合概率曲线. 图 2 给出分别以 BPA 对水生生物的雌激素效应和其他毒性效应为评价因子时,我国淡水水体与受害生物之间的比例关系. 表明生物对 BPA 的雌激素作用敏感度较高,对 BPA 的其他毒性效应敏感度较低. 以 BPA 的雌激素效应为评价因子时,水生生物短期和长期暴露于我国淡水水体中,超过5%的生物受害时的潜在风险分别为 33.21% 和4.74%;以 BPA 的其他毒性效应为评价因子时,超过5%的水生生物受害时的潜在风险为 0.90% 和过5%的水生生物受害时的潜在风险为 0.90% 和

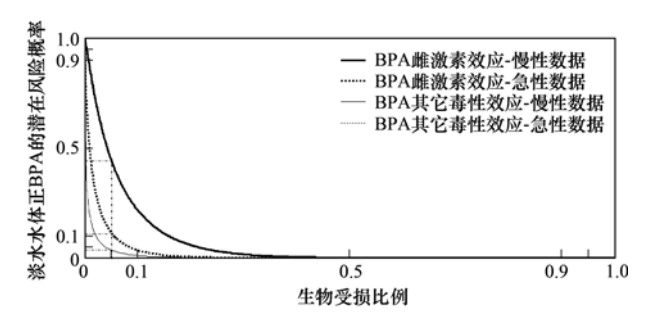


图 2 我国水体中基于不同评价因子的 BPA 的联合概率曲线

Fig. 2 Joint probability curves of BPA in surface waters of China using different assessment factors

<0.001%,表明目前我国淡水中,长期暴露时,33.21%的水体就导致超过5%的水生生物受到BPA 雌激素效应的风险,且由0.90%的水体会导致水生生物死亡,短期暴露时,有4.74%的水体会导致超过5%的水生生物受到BPA的雌激素效应的潜在影响,但造成水生生物死亡的风险较低.

3 讨论

本研究采用了商值法、安全阈值法、商值概率 法以及联合概率风险评价这4种方法评价了我国淡 水水体中 BPA 对水生生物的潜在风险. 上述4 种风 险评价方法的结果表明水生生物对 BPA 的雌激素 效应较其他毒性效应更为敏感,采用 BPA 雌激素效 应为评价因子时,上述4种方法得到我国风险水体 占我国总淡水水体的比例较分别为94.12%、 64.70%、15.10%以及33.21%,表明长期暴露时, 水生生物受到 BPA 雌激素作用的风险较大; 短期 暴露时水牛牛物受到 BPA 雌激素作用的风险分别 为 47.06%、20.43%、7.06%以及 4.74%. 采用 BPA 的其他毒性效应作为评价因子,水生生物长期 和短期暴露于我国淡水水体时,上述4种评价方法 的结果表明我国风险水体占总淡水水体比例分别为 11.76%、12.40%、4.75%、0.90%和 < 0.01%、 3.40%、<0.01%、<0.01%. 由上述数据比较得出 采用 BPA 的雌激效应作为评价因子较其他毒性效 应更能表征我国水体中 BPA 的风险程度.

商值法为非概率评价方法,所推导的结果未能 反映我国所有水体中 BPA 分布的真实情况,且在选 取每组的水生生物的最小毒性效应值为毒性参考 值,未充分考虑 BPA 毒性敏感生物; 且因选取的 BPA 水体暴露数据评价我国全部淡水水体的风险 情况,未对环境中的不确定因素做出修正,所以评价 结果较为保守. 商值概率法、联合概率风险评价 法,通过随机抽样优化了 BPA 的毒性数据和暴露数 据;但以 BPA 对水生生物的雌激素效应的急、慢性 效应和 BPA 其他毒性效应的急、慢性效应作为评 价因子,所有数据对数化并采用商值法得到 HQD 值 分别为 - 3.04 ± 2.43、 - 3.65 ± 2.34 和 - 3.67 ± 2.02、-4.81 ±1.19,误差较大,影响风险水体比例 的确定,且联合概率法也是基于受试生物以及暴露 浓度的筛选服从正态分布的前提推导 BPA 风险水 域的比例,其最终结果也存在较大误差,影响数据结 果的准确性. 所以这两种方法对于本研究,其结果 均不能真实地反映我国水体中 BPA 浓度以及分布.

安全阈值法的评价结果较商值法更能反映我国水体的风险状况,但因数据量有限,未能充分考虑水生生态环境的诸多因素,如有研究发现 BPA 能被水体中的悬浮颗粒以及污泥吸附、生物降解、被氧化转化成其他产物,水体中 BPA 的半衰期一般是 2.5~4 d^[12]厌氧条件下,BPA 的半衰期一般为 4.5~4.7 d^[81],也有研究发现水体底泥中 BPA 的吸附解析与水体中的 BPA 浓度密切相关,两者处于一种动态平衡^[82].有研究发现当水体中有多种污染物质共存时,化合物的相互作用影响暴露生物对 BPA 的毒性敏感度^[83],其结果较商值概率法以及联合概率风险评价法保守,综上所述,采用安全阈值法评价我国淡水水体生态风险状况,其结果更为合理客观.

本研究结果采用安全阈值法推导的我国水体最 大安全浓度与国外部分研究结果属同一数量级,如 Wright-Walters 等[84] 通过 SSD 曲线拟合分析得到美 国水体中 BPA 可预测无效应浓度(predicted no effect concentration, PNEC) 为 60 ng·L⁻¹, Crain 等^[18] 采用安全阈值法初步分析了所有水体中 BPA 的风 险程度,并建议 BPA 的安全浓度上限为 30 ng·L-1. 本研究以 BPA 雌激素效应(以受试生物的 LOEC 为 效应终点)为评价因子推导我国淡水水体最大安全 浓度为31.44 ng·L⁻¹,但根据欧洲委员会技术指导 文件 (the European Commission Technical Guidance Document, TGD),如果少于20%的受试物种受到影 响时的最低有效应浓度(LOEC)可以为最低无效应 浓度(no observed effect concentration, NOEC)的2 倍[17],少许差异的原因是本研究采用雌激素作用作 为效应终点,故本研究认为我国淡水水体长期和短 期暴露条件下有效最大安全浓度分别为 15.72 ng·L-1. 数据之间的差异可能是由于本研究选取水 生生物较为敏感的 BPA 雌激素效应为评价因子导 致本研究推导的水体最大安全浓度偏小的原因,其 次不同区域水生生物对 BPA 的敏感度也存在差异 性. 综上,本研究认为以雌激素作用为效应终点,采 用安全阈值法风险评价结果能更好地反映我国水体 的风险程度,最终结果表明以 BPA 雌激素作用为效 应终点时,水生生物长期暴露时,我国64.70%的淡 水水体有潜在风险,安全浓度上限为15.72 ng·L⁻¹; 水生生物短期暴露时,我国 20.43% 的淡水水体有 潜在风险,安全浓度上限为 2.24×10² ng·L⁻¹.

4 结论

(1)本研究采用商值法、安全阈值法、商值概

率评价法以及联合概率曲线评价法分别评价了我国 水体中 BPA 的生态风险程度. 结果表明,采用雌激 素作用作为效应终点更能反映我国淡水水体的风险 程度.

(2)采用安全阈值法得到的评价结果更能反映我国水体的风险程度,表明水生生物长期暴露于我国淡水水体中,风险水体占全部水体的64.70%,BPA安全浓度上限为15.72 ng·L⁻¹;短期暴露时,风险水体比例为20.43%,安全浓度上限为2.24×10² ng·L⁻¹.

致谢:感谢中国环境科学研究院环境基准与风 险评估国家重点实验室对本研究的支持.同时也感 谢穆云松、于晓玲等为数据分析提供的帮助.

参考文献:

- [1] Vandenberg L N, Maffini M V, Sonnenschein C, et al. Bisphenol-A and the Great Divide: A review of controversies in the field of endocrine disruption[J]. Endocrine Reviews, 2009, 30(1): 75-95.
- [2] Dodds E, Ca W L. Synthetic estrogenic agents without the phenanthrene nucleus[J]. Nature, 1936, 137: 996.
- [3] EU. European Union risk assessment report 4, 4'isopropylidenediphenol (bisphenol-A)[R]. Luxembourg: Office
 for Official Publications of the European Communities, 2003. 1341.
- [4] 秦伟程. 双酚 A 生产现状与发展趋势[J]. 四川化工与腐蚀 控制, 2001, **4**(5): 32-36.
- [5] 李振东,韩占元,郭桂荣,等. 双酚 A 市场发展趋势[J]. 热固性树脂,2011,26(4):50-53.
- [6] Huang Y Q, Wong C K C, Zheng J S, et al. Bisphenol A (BPA) in China: a review of sources, environmental levels, and potential human health impacts [J]. Environment International, 2012, 42: 91-99.
- [7] Kuiper G G J M, Lemmen J G, Carlsson B, et al. Interaction of estrogenic chemicals and phytoestrogens with estrogen receptor β
 [J]. Endocrinology, 1998, 139(10): 4252-4263.
- [8] 张江华, 李华文, 石丹, 等. 双酚 A 对人胚肝细胞 DNA 损伤和修复功能的影响[J]. 环境与职业医学, 2005, **22**(3): 197-199.
- [9] 李芙蓉, 蔡云朗, 任慕兰. 双酚 A 对离体人子宫肌瘤细胞增殖的影响[J]. 环境与健康杂志, 2008, **25**(4): 311-313.
- [10] 郑继翠,肖现民,刘江斌,等.双酚A对人神经母细胞瘤 SK-N-SH细胞增殖的影响[J].中华小儿外科杂志,2006,27 (2):90-92.
- [11] 徐镜波, 王咏. 生态风险评价[J]. 松辽学刊(自然科学版), 1999, **1**(2): 10-13.
- [12] Hope B K. An examination of ecological risk assessment and management practices[J]. Environment International, 2006, 32 (8): 983-995.
- [13] Staples C A, Dom P B, Klecka G M, et al. A review of the environmental fate, effects, and exposures of bisphenol A[J].

Chemosphere, 1998, 36(10): 2149-2173.

2326

- [14] Mochida K, Ohkubo N, Matsubara T, et al. Effects of endocrine-disrupting chemicals on expression of ubiquitin Cterminal hydrolase mRNA in testis and brain of the Japanese common goby[J]. Aquatic Toxicology, 2004, 70(2): 123-136.
- [15] Wheeler J R, Grist E P M, Leung K M Y, et al. Species sensitivity distributions: data and model choice [J]. Marine Pollution Bulletin, 2002, 45(1-12): 192-202.
- [16] 孟伟, 吴丰昌. 水质基准的理论与方法学导论[M]. 北京: 科学出版社, 2010. 28-33.
- [17] European Commission. Technical guidance document on risk assessment (Part III) [R]. Italy: European Commission, 2003. 98.
- [18] Crain D A, Eriksen M, Iguchi T, et al. An ecological assessment of Bisphenol-A: Evidence from comparative biology [J]. Reproductive Toxicology, 2007, 24(2): 225-239.
- [19] Helsel D R. Less than obvious statistical treatment of data below the detection limit[J]. Environmental Science and Technology, 1990, 124(12): 1766-1774.
- [20] USEPA. Data quality assessment: Statistical methods for practitioners [S]. EPAQA/G-9S, EPA/240/B-06/003. Washington: US EPA, 2006.
- [21] 郭广慧, 吴丰昌, 何宏平, 等. 中国地表水体多环芳烃含量 分布特征及其生态风险评价[J]. 中国科学 D 辑: 地球科学, 2012, **42**(5): 680-691.
- [22] 冯承莲, 雷炳丽, 王子健. 中国主要河流中多环芳烃生态风险的初步评价[J]. 中国环境科学, 2009, **29**(6): 583-588.
- [23] Zolezzi M, Cattaneo C, Tarazona J V. Probabilistic ecological risk assessment of 1, 2, 4-trichlorobenzene at a former industrial contaminated site [J]. Environmental Science and Technology, 2005, 39(9): 2920-2926.
- [24] WERF (Water Environment Research Foundation). Aquatic ecological risk assessment: a multi-tiered approach: Project 91-AER- 1 [M]. Alexandria: Water Environment Research Foundation, 1996.
- [25] 郭广慧, 吴丰昌, 何宏平, 等. 太湖梅梁湾、贡湖湾和胥口湾水体 PAHs 的生态风险评价[J]. 环境科学学报, 2011, **31** (12): 2804-2813.
- [26] Wang X L, Tao S, Dawson R W, et al. Characterizing and comparing risks of polycyclic aromatic hydrocarbons in a Tianjin wastewater-irrigated area [J]. Environmental Research, 2002, 90(3): 201-206.
- [27] Oehlmann J, Schulte-Oehlmann U, Bachmann J, et al. Bisphenol A induces superfeminization in the ramshorn snail Marisa cornuarietis (Gastropoda: Prosobranchia) at environmentally relevant concentrations [J]. Environmental Health Perspectives, 2006, 114(1): 127-133.
- [28] Lahnsteiner F, Berger B, Kletzl M, et al. Effect of Bisphenol A on maturation and quality of semen and eggs in the brown trout, Salmo trutta f. fario [J]. Aquatic Toxicology, 2005, 75 (3): 213-224.
- [29] Yang F X, Xu Y, Wen S. Endocrine-disrupting effects of

- Nonylphenol, Bisphenol A, and p,p'-DDE on Rana nigromaculata tadpoles [J]. Bulletin of Environmental Contamination and Toxicology, 2005, **75**(6): 1168-1175.
- [30] Levy G, Lutz I, Krüger A, et al. Bisphenol A induces feminization in Xenopus laevis tadpoles [J]. Environmental Research, 2004, 94(1): 102-111.

学

- [31] 杨君,张育辉,王宏元,等. 双酚 A 对中国林蛙精巢芳香化酶和雌激素受体的影响[J]. 陕西师范大学学报(自然科学版),2011,39(4);69-74.
- [32] Aarab N, Lemaire-Gony S, Unruh E, et al. Preliminary study of responses in mussel (Mytilus edilus) exposed to Bisphenol A, diallyl phthalate and tetrabromodiphenyl ether [J]. Aquatic Toxicology, 2006, 78(S1): 86-92.
- [33] 张晖, 孔繁翔, 王世和, 等. 双酚 A 与内源性雌激素联合作用的探讨[J]. 安全与环境工程, 2008, **15**(2): 13-17.
- [34] Brian J V, Harris C A, Scholze M, et al. Accurate prediction of the response of freshwater fish to a mixture of estrogenic chemicals [J]. Environmental Health Perspectives, 2005, 113(6): 721-728.
- [35] Van den Belt K, Verheyen R, Witters H. Comparison of vitellogenin responses in zebrafish and rainbow trout following exposure to environmental estrogens [J]. Ecotoxicology and Environmental Safety, 2003, 56(2): 271-281.
- [36] Mu X Y, Rider C V, Hwang G S, et al. Covert signal disruption; anti-ecdysteroidal activity of Bisphenol A involves cross talk between signaling pathways [J]. Environmental Toxicology and Chemistry, 2005, 24(1): 146-152.
- [37] 周群芳, 江桂斌. 双酚-A 对 Medaka 的类雌激素效应研究 [J]. 环境科学学报, 2005, **25**(11): 1550-1554.
- [38] 赵卫红. 日本沼虾 (Macrobrachium nipponense) 卵黄蛋白原代 谢相关基因的克隆和表达研究[D]. 上海: 华东师范大学, 2011. 55-65.
- [39] Jobling S, Casey D, Rodgers-Gray T, et al. Comparative responses of molluses and fish to environmental estrogens and an estrogenic effluent[J]. Aquatic Toxicology, 2003, 65(2): 205-220
- [40] Tatarazako N, Takao Y, Kishi K, et al. Styrene dimers and trimers affect reproduction of daphnid (*Ceriodaphnia dubia*) [J]. Chemosphere, 2002, 48(6): 597-601.
- [41] Hoshi H, Kamata Y, Uemura T. Effects of 17β-estradiol, Bisphenol A and tributyltin chloride on germ cells of Caenorhabditis elegans [J]. Journal of Veterinary Medical Science, 2003, 65(8): 881-885.
- [42] Muncke J, Junghans M, Eggen R I L. Testing estrogenicity of known and novel (xeno-) estrogens in the MolDarT using developing zebrafish (*Danio rerio*) [J]. Environmental Toxicology, 2007, 22(2): 185-193.
- [43] Watts M M, Pascoe D, Carroll K. Survival and precopulatory behaviour of gammarus pulex (l.) exposed to two xenoestrogens [J]. Water Research, 2001, 35(10): 2347-2352.
- [44] Rankouhi T R, Sanderson J T, Van Holsteijn I, et al. Effects of natural and synthetic estrogens and various environmental

- contaminants on vitellogenesis in fish Primary hepatocytes: comparison of bream (*Abramis brama*) and Carp (*Cyprinus carpio*)[J]. Toxicological Sciences, 2004, **81**(1): 90-102.
- [45] Thomas P, Sweatman J. Interference by atrazine and Bisphenol-A with progestin binding to the ovarian progestin membrane receptor and induction of oocyte maturation in Atlantic croaker [J]. Marine Environmental Research, 2008, 66(1): 1-2.
- [46] Segner H, Navas J M, Schäfers C, et al. Potencies of estrogenic compounds in in vitro screening assays and in life cycle tests with zebrafish in vivo [J]. Ecotoxicology and Environmental Safety, 2003, 54(3): 315-322.
- [47] Kashiwada S, Ishikawaa H, Miyamotoa N, et al. Fish test for endocrine-disruption and estimation of water quality of Japanese rivers[J]. Water Research, 2002, 36(8): 2161-2166.
- [48] Lee S B, Choi J. Effects of Bisphenol A and ethynyl estradiol exposure on enzyme activities, growth and development in the fourth instar larvae of *Chironomus riparius* (*Diptera*, *Chironomidae*) [J]. Ecotoxicology and Environmental Safety, 2007, 68(1): 84-90.
- [49] Pascoe D, Carroll K, Karntanut W, et al. Toxicity of 17α-Ethinylestradiol and Bisphenol A to the freshwater Cnidarian Hydra vulgaris [J]. Archives of Environmental Contamination and Toxicology, 2002, 43(1): 56-63.
- [50] Lee Y M, Rhee J S, Kim I C, et al. Mining of Biomarker genes from expressed sequence tags and differential display reverse transcriptase-polymerase chain reaction in the self-fertilizing fish, Kryptolebias marmoratus and their expression patterns in response to exposure to an endocrine-disrupting alkylphenol, Bisphenol A [J]. Molecules and Cells, 2007, 23(3): 287-303.
- [51] Watts M M, Pascoe D, Carroll K. Exposure to 17αethinylestradiol and Bisphenol A: effects on larval moulting and mouthpart structure of *Chironomus riparius* [J]. Ecotoxicology and Environmental Safety, 2003, 54(2): 207-215.
- [52] Honkanen J O, Holopainen I J, Kukkonen J V. Bisphenol A induces yolk-sac oedema and other adverse effects in Landlocked Salmon (Salmo salar m. sebago) yolk-sac fry [J]. Chemosphere, 2004, 55(2); 187-196.
- [53] 牛海岗,王宏元,张育辉.双酚 A 对中国林蛙蝌蚪生长发育的毒性效应[J].生态毒理学报,2009,4(3):408-414.
- [54] Brennan S J, Brougham C A, Roche J J, et al. Multigenerational effects of four selected environmental oestrogens on Daphnia magna[J]. Chemosphere, 2006, 64(1): 49-55.
- [55] 庄惠生, 杨光. 双酚 A 对鲤鱼急性和亚急性毒性的研究[J]. 环境化学, 2005, **24**(6): 682-684.
- [56] Mihaich E M, Friederich U, Caspers N, et al. Acute and chronic toxicity testing of Bisphenol A with aquatic invertebrates and plants [J]. Ecotoxicology and Environmental Safety, 2009, 72(5): 1392-1399.
- [57] Kallivretaki E, Eggen R, Neuhauss S, et al. Aromatase in zebrafish: A potential target for endocrine disrupting chemicals [J]. Marine Environmental Research, 2006, 62 (S1): S187-S190.

- [58] Seo J S, Park T J, Lee Y M, et al. Small heat shock protein 20 gene (Hsp20) of the Intertidal Copepod Tigriopus japonicus as a possible biomarker for exposure to endocrine disruptors [J]. Bulletin of Environmental Contamination and Toxicology, 2006, 76(4): 566-572.
- [59] Hirano M, Ishibashi H, Matsumura N, et al. Acute toxicity responses of two crustaceans, Americamysis bahia and Daphnia magna, to endocrine disrupters[J]. Journal of Health Science, 2004, 50(1): 97-100.
- [60] Alexander H C, Dill D C, Smith L W, et al. Bisphenol A: acute aquatic toxicity [J]. Environmental Toxicology and Chemistry, 1988, 7(1): 19-26.
- [62] 李睿, 刘玉, 谭凤仪, 等. 双酚 A 对微小小环藻的毒性效应 [J]. 中山大学学报, 2006, **45**(3): 110-113.
- [63] 雷忻,李宗强,廉振民,等. 双酚 A 和对硝基酚对泥鳅的急性毒性效应[J]. 生态学杂志, 2009, **28**(11): 2257-2261.
- [64] 牛海岗. 双酚 A 对中国林蛙蝌蚪的毒性和隔代效应[D]. 西安: 陕西师范大学, 2009. 13-24.
- [65] 郭匿春,谢平.双酚 A 和壬基酚对隆线溞和微型裸腹溞的毒性[J]. 水生生物学报,2009,33(3):492-497.
- [66] 雷炳莉, 骆坚平, 查金苗, 等. 温榆河沉积物中壬基酚和双酚 A 的分布[J]. 环境化学, 2008, 27(3): 314-317.
- [67] 张海峰, 胡建英, 常红, 等. SPE-LC-MS 法检测杭州地区饮用水水源及自来水中的双酚 A[J]. 环境化学, 2004, 23 (5): 584-586.
- [68] Zhang X, Gao Y J, Li Q Z, et al. Estrogenic compounds and estrogenicity in surface water, sediments, and organisms from Yundang Lagoon in Xiamen, China [J]. Archives of Environmental Contamination and Toxicology, 2011, 61(1): 93-100.
- [69] Jin X L, Jiang G B, Huang G L, et al. Determination of 4-tert-octylphenol, 4-nonylphenol and Bisphenol A in surface waters from the Haihe River in Tianjin by gas chromatography-mass spectrometry with selected ion monitoring [J]. Chemosphere, 2004, 56(11); 1113-1119.
- [70] 薛晓飞,吴峰,邓南圣.关于武汉地区河流与湖泊中内分泌 干扰物质的调查与分析[J].洛阳大学学报,2005,20(4):
- [71] 张照韩, 冯玉杰, 高鹏, 等. 松花江水内分泌干扰物及雌激素活性调查[J]. 哈尔滨工业大学学报, 2011, **43**(12): 58-62.
- [72] 李正炎,傅明珠,王馨平,等. 冬季胶州湾及其周边河流中 酚类环境激素的分布特征[J]. 中国海洋大学学报,2006,36(3):451-455.
- [73] Wang L, Ying G G, Zhao J L, et al. Assessing estrogenic activity in surface water and sediment of the Liao River system in northeast China using combined chemical and biological tools [J]. Environmental Pollution, 2011, 159(1): 148-156.
- [74] 龚剑, 冉勇, 杨余, 等. 珠江广州河段表层水中雌激素化合

- 物的污染状况[J]. 环境化学, 2008, 27(2): 242-244.
- [75] 邵晓玲, 马军, 文刚, 等. 松花江流域某自来水厂中内分泌 干扰物的调查[J]. 环境科学, 2008, **29**(10): 2723-2728.
- [76] 张奎文,叶赛,那广水,等.高效液相色谱-串联质谱法测定环境水体中双酚 A、辛基酚、壬基酚[J].分析试验室,2008,27(8):62-66.
- [77] 马晓雁,高乃云,李青松,等. 黄浦江原水及水处理过程中内分泌干扰物状况调查[J]. 中国给水排水,2006,22(19):
- [78] 赵艳红,郭栋生.黄河水中邻苯二甲酸二丁酯、壬基酚、双酚 A 含量的现状分析[J].中国环境监测,2007,23(5):19-21
- [79] Yu F, Pan X J, Wang B. Determination of four phenolic endocrine disrupting chemicals in Dianchi Lake, China [J]. International Journal of Environmental Analytical Chemistry, 2007, 92(13): 1532-1545.
- [80] 董军. 珠三角地区鱼塘水体中双酚 A 污染及其生态风险评价[J]. 中国生态农业学报, 2009, 17(6): 1240-1244.

- [81] Cousins I T, Staples C A, Klecka G M, et al. A multimedia assessment of the environmental fate of Bisphenol A[J]. Human and Ecological Risk Assessment: An International Journal, 2002, 8(5): 1107-1135.
- [82] Kawahata H, Ohta H, Inoue M, et al. Endocrine disrupter nonylphenol and bisphenol A contamination in Okinawa and Ishigaki Islands, Japan-within coral reefs and adjacent river mouths[J]. Chemosphere, 2004, 55(11): 1519-1527.
- [83] Silva E, Rajapakse N, Kortenkamp A. Something from "Nothing"-eight weak estrogenic chemicals combined at concentrations below NOECs produce significant mixture effects [J]. Environmental Science & Technology, 2002, 36 (8): 1751-1756.
- [84] Wright-Walters M, Volz C, Talbott E, et al. An updated weight of evidence approach to the aquatic hazard assessment of Bisphenol A and the derivation a new predicted no effect concentration (Pnec) using a non-parametric methodology [J]. Science of the Total Environment, 2011, 409(4): 676-685.

HUANJING KEXUE

Environmental Science (monthly)

Vol. 34 No. 6 Jun. 15, 2013

CONTENTS

Concentrations and Ozone Formation Potentials of BTEX During 2008-2010 in Urban Beijing, China	····· CAO Han-yu, PAN Yue-peng, WANG Hui, et al. (2065)
Aging and Mixing State of Particulate Matter During Aerosol Pollution Episode in Autumn Shanghai Using a Single Particle Aeroso	l Mass Spectrometer (SPAMS) ·····
Tigning and straining order or Latticeaster During Tections Totalities Expressed in Autumn Colleges College College Colleges	· MU Ying-ying, LOU Sheng-rong, CHEN Chang-hong, et al. (2071)
Chemical Characteristics and Source Assessment of Rainwater at Shenyang	···· ZHANG Lin-jing, ZHANG Xiu-ying, JIANG Hong, et al. (2081)
Variation of Atmospheric Pollutants in Qinhuangdao City	LIU Lu-ning, SHEN Yu-xuan, XIN Jin-yuan, et al. (2089)
NH ₃ , N ₂ O, CH ₄ and CO ₂ Emissions from Growing Process of Caged Broilers	··· ZHOU Zhong-kai. ZHU Zhi-ping. DONG Hong-min. et al. (2098)
Synergetic Effects of Silicon Carbide and Molecular Sieve Loaded Catalyst on Microwave Assisted Catalytic Oxidation of Toluene	
Removal of Mixed Waste Gases by the Biotrickling Filter	THANC Ding fong FANC Jun vi VF Jio vu et al. (2116)
Decomposion of Carbon Disulfide by Pulse Corona Under Oxidizing and Reducing Atmosphere	III Shane HIANG Live: II Cue nine (2121)
Decomposion of Carbon Distinct by ruise Corona Unioer Oxidizing and Reducing Almosphere	JIN Sheng, HUANG LI-Wei, Li Guo-ping (2121)
Effects of Simulated Elevation of Atmospheric CO ₂ Concentration on the Physiological Features of Spring Phytoplankton in Taihu I	ake
	ZHAO Xu-hui, TANG Long-sheng, SHI Xiao-li, et al. (2126)
A New Method for Estimation the Lake Quality Reference Condition	HUA Zu-lin, WANG Liang (2134)
Parameter Sensitivity Analysis of Runoff Simulation and Model Adaptability Research Based on HSPF	LI Yan, LI Zhao-fu, XI Qing (2139)
Study on Water Quality Monitoring Scheme Based on Non-Point Source Pollution	WU Xi-jun, LI Huai-en, LI Jia-ke, et al. (2146)
Characteristics of Nutrient Loss by Runoff in Sloping Arable Land of Yellow-brown Under Different Rainfall Intensities	······ CHEN Ling, LIU De-fu, SONG Lin-xu, et al. (2151)
Distribution of Dissolved Inorganic Nutrients and Dissolved Overgen in the High Frequency Area of Harmful Algal Blooms in the F	act China Sea in Spring
Distribution of Dissorted Inorganic Futurents and Dissorted Copyright the High Frequency Area of Halinta Argan Dissorted	LI Hong-mei, SHI Xiao-vong, CHEN Peng, et al. (2159)
Temporal-Spatial Distribution of Algal Cells During Drought Period in Daning River of Three Gorges	· ZHANG Yong-sheng ZHENG Bing-hui WANG Kun et al. (2166)
Bioavailability of Dissolved Organic Nitrogen Components in the Lake Sediment to Alage	FENC Wei-ving 7HANC Shang HAO Li-vin et al. (2176)
Influence of Decomposition of <i>Cladophora</i> sp. on Phosphorus Concentrations and Forms in the Overlying Water	HOLL in al.: WELD on CAOL: at al. (2174)
Phosphorus Exchange Between Suspended Solids Sediments Overlying Water Under Repeated Disturbance	TOU JIII-ZIII, WEI QUAII, GAO LI, et at. (2104)
rnospnorus Exchange between Suspended Sonds Sediments Overlying water Under Repeated Disturbance	LI Da-peng, WANG Jing, HUANG Tong (2191)
Distribution Characteristics of PBDEs in Surface Sediment from the Three Gorges Reservoir of Yangtze River	LI Kun, ZHAO Gao-leng, ZHOU Huai-dong, et al. (2198)
Study on UV and H ₂ O ₂ Combined Inactivation of <i>E. coli</i> in Drinking Water	······· ZHANG Yi-qing, ZHOU Ling-ling, ZHANG Yong-ji (2205)
Kinetics and Influencing Factors of Dimethyl Phthalate Degradation in Aqueous Solution by Ozonation	······· YU Li, ZHANG Pei-long, HOU Jia-cai, et al. (2210)
Effects of Nitrate Ion on Monomethylmercury Photodegradation in Water Body	MAO Wen, SUN Rong-guo, WANG Ding-yong, et al. (2218)
Chlorination of Ethynyl Estradiol A Kinetic and Mechanistic Study	···· WANG Bin-nan, LIU Guo-giang, KONG De-vang, et al. (2225)
Metal Ions Restrain the Elimination of 4-tert-Octylphenol by δ-MnO ₂	LI Fei-li MOU Hua-gian (2232)
Removal of Bisphenol A in Aqueous Solutions by Core-shell Magnetic Molecularly Imprinted Polymers	LIII Jian-ming LI Hong-hong XIONG Zhen-hu (2240)
Research on Removal of Tetrabromobisphenol A from Synthetic Wastewater by Nanoscale Zero Valent Iron Supported on Organobe	ntonite
research on removal of retransomonspherior A non-symmetre wastewater by Nanoscate Zero varent non-supported on Organobe	
Measurement of Dissolved Organic Nitrogen with Nanofiltration Pretreatment and Its Distribution Characteristics in Landscape Wat	1 Alv Meng-yue, FANG Ziii-iiua, Li Alao-iiiing, et al. (2249)
Measurement of Dissolved Organic Nitrogen with Nanothtration Pretreatment and its Distribution Characteristics in Landscape wat	er
	· · · YU Hong-lei, HUO Shou-liang, YANG Zhou-sheng, et al. (2256)
Preparation of a Novel Modified Hydrogel and Study of Its Adsorption Performance	WU Ning-mei, LI Zheng-kui (2263)
Photocatalytic Reductive Degradation of Direct Red 4BE by Posphotungstic Acid Wastewater Treatment Using a Microbubble Aerated Biofilm Reactor	WEI Hong, LI Ke-bin, LI Juan, et al. (2271)
Wastewater Treatment Using a Microbubble Aerated Biofilm Reactor	ZHANG Lei, LIU Ping, MA Jin, et al. (2277)
Research on Fenton Treatment of the Biochemical Processes Effluent of Bamboo Industry Wastewater	GUO Qing-wen, ZHANG Min, WANG Wei, et al. (2283)
Effect of Fe ^{2 +} on Fermentation Hydrogen Production in an UASB	···· LI Yong-feng, WANG Yi-xuan, CHENG Guo-ling, et al. (2290)
Influence of Substrate Concentration on PHA Production Using Fermented Sugar Cane as Substrate	CHEN Zhi-giang DENG Yi HIJANG Long et al. (2295)
Study on Rapid Start-up of a Nitrifying Process Using Aerobic Granular Sludge as Seed Sludge	III Wen-ru SHEN Vac-liang DINC Ling-ling at al. (2302)
Influencing Factors of High-Concentration Lead Removal Using the Phosphorus-Accumulating Sludge	VANC Min III I and FENC Vanc et al. (2001)
Initiation of actors of right-concentration lead removal using the Prosphorus-Accumulating Studge	TANG MIII, LU LONG, FENG TONG, et al. (2009)
Preliminary Study on Characteristics of Volumetric Oxygen Transfer Coefficient in Granular Sludge Systems Ecological Risk Assessment of Bisphenol A in Chinese Freshwaters	LI Zhi-hua, FAN Chang-qing, WANG Xiao-chang (2314)
Ecological Risk Assessment of Bisphenol A in Chinese Freshwaters	WANG Hao, FENG Cheng-lian, GUO Guang-hui, et al. (2319)
Species Sensitivity Evaluation of Pseudorasbora parva	
Comparison of Aquatic Predicted No-Effect Concentrations (PNECs) for Pentachlorophenol Derived from Different Assessment Ap	proaches LEI Bing-Li, WEN Yu, WANG Yi-pei, et al. (2335)
Study on Hair Hg and Pb Content Distribution of Traffic Polices, Guilin	
Changes in Phototaxical Index of Daphnia carinata Under Electric Field of Direct Current in Response to Cr ⁶⁺ and Hg ²⁺	WANG Fei-xiang, YUAN Ling, HUANG Jian-guo (2350)
Effect of UV-B Radiation on the Chemical Composition and Subsequent Decomposition of Cyclobalanopsis glauca Leaf Litter	SONG Xin-zhang BIJ Tao ZHANG Shui-kui et al. (2355)
Leaf Micro-morphology and Features in Adsorbing Air Suspended Particulate Matter and Accumulating Heavy Metals in Seven Tre	ss Species
Teal state-indipinions; and Teatures in Australia; and Outperford Tautomate states and Accumulating Teaty steams in Section 116	LIU Ling, FANG Yan-ming, WANG Shun-chang, et al. (2361)
Effect of Dissolved Oxygen on Microbial Community in Simultaneous Removal of Carbon, Nitrogen and Sulfur Process	VI Has CHEN Chair 7HANC 1; et al. (236)
Microbial Activity and Community Structure Analysis Under the Different Land Use Patterns in Farmland Soils; Based on the Met	hods PLFA and MicroResp ****
	····· CHEN Xiao-juan, WU Xiao-hong, LIU Shou-long, et al. (2375)
Effects of Drying-rewetting Alternation on Nitrogen Dynamics in a Typical Coastal Wetland: A Simulation Study	
Cadmium and Selected Heavy Metals in Soils of Jianping Area in Wushan County, the Three Gorges Region: Distribution and Soil	rce Recognition ·····
	LIU Yi-zhang, XIAO Tang-fu, NING Zeng-ping, et al. (2390)
Total Contents of Heavy Metals and Their Chemical Fractionation in Agricultural Soils at Different Locations of Beijing City	
Influence of Season Change on the Level of Heavy Metals in Outdoor Settled Dusts in Different Functional Areas of Guiyang City	
Characteristics of Dioxin-Like Polychlorinated Biphenyls Contamination in Soils of Gudao Region in Dongying	WANC Dang-ga CIII Zhao-jia EII Viao-wan at al. (2016)
Effects of Simulated Nitrogen Deposition on Organic Matter Leaching in Forest Soil	DIJAN Lei MA Vice vice VII De vice et al. (2422)
Effects of Simulated Nitrogen Deposition on Organic Matter Leaching in Forest Soil Ex-situ Remediation of PAHs Contaminated Site by Successive Methyl-β-Cyclodextrin Enhanced Soil Washing	CUNIMINATION TENIC VITALLIO V
Ex-suu remedianon of Paris Contaminated 5ite by Successive Methyl-B-Cyclodextrin Enhanced 5oil Washing	SUN Ming-ming, IENG Ting, LUU Yong-ming, et al. (2428)
Effects of Bacillus mucilaginosus on the Cd Content of Rhizosphere Soil and Enzymes in Soil of Brassica juncea	YANG Rong, LI Bo-wen, LIU Wei (2436)
Concentrations of Antibiotics in Vegetables from Manure-mended Farm	WU Xiao-lian, XIANG Lei, MO Ce-hui, et al. (2442)
Characteristics of Organic Nitrogen Mineralization in Organic Waste Compost-Amended Soil	ZHANG Xu, XI Bei-dou, ZHAO Yue, et al. (2448)
Characteristics and Influence Factors of the Energy Consumption and Pollutant Discharge of Municipal Solid Waste Transfer Statio	ns in Beijing ·····
	WANG Zhao, LI Zhen-shan, FENG Ya-bin, et al. (2456)
Influence of Ammonia on Leaching Behaviors of Incineration Fly Ash and Its Geochemical Modeling	GUAN Zhen-zhen, CHEN De-zhen, Thomas Astrum (2464)
Pretreatment Technology for Fly Ash from MSWI and the Corresponding Study of Chloride Behavior	ZHII Fen-fen Takaoka Masaki Oshita Kazuwuki et al. (2473)
Preparation, Characterization and Adsorption Performance of Mesoporous Activated Carbon with Acidic Groups	II Kun-guan II Vo 7HENC 7hong at al / 2470)
Preliminary Assessment of the Potential of Biochar Technology in Mitigating the Greenhouse Effect in China	HANC This riong THENC Has THE Formula at 1 (2400)
remaining assessment of the foreign of Diochar Technology in Miligating the Greenhouse Effect in China	JIANG LII-XIANG, LITENG C. DONG V. 1 (2480)
Research of Potassium Flow and Circulation Based on Substance Flow Analysis	DAI Hua, ZENG SI-yu, DONG Xin, et al. (2493)

《环境科学》第6届编辑委员会

主 编:欧阳自远

副主编:赵景柱 郝吉明 田 刚

编 委: (按姓氏笔画排序)

万国江 王华聪 王凯军 王绪绪 田 刚 田 静 史培军

朱永官 刘志培 汤鸿霄 陈吉宁 孟 伟 周宗灿 林金明

欧阳自远 赵景柱 姜 林 郝郑平 郝吉明 聂永丰 黄 霞

黄耀 鲍强潘纲潘涛魏复盛

环维种草

(HUANJING KEXUE)

(月刊 1976年8月创刊)

2013年6月15日 34卷 第6期

ENVIRONMENTAL SCIENCE

(Monthly Started in 1976)

Vol. 34 No. 6 Jun. 15, 2013

主	管	中国科学院	Superintended	by	Chinese Academy of Sciences
主	办	中国科学院生态环境研究中心	Sponsored	by	Research Center for Eco-Environmental Sciences, Chinese
协	办	(以参加先后为序)			Academy of Sciences
		北京市环境保护科学研究院	Co-Sponsored	by	Beijing Municipal Research Institute of Environmental
		清华大学环境学院			Protection
主	编	欧阳自远			School of Environment, Tsinghua University
编	辑	《环境科学》编辑委员会	Editor-in -Chief		OUYANG Zi-yuan
21111	14	北京市 2871 信箱(海淀区双清路	Edited	by	The Editorial Board of Environmental Science (HUANJING
		18 号,邮政编码:100085)			KEXUE)
		电话:010-62941102,010-62849343			P. O. Box 2871, Beijing 100085, China
		传真:010-62849343			Tel:010-62941102,010-62849343; Fax:010-62849343
		E-mail; hjkx@ rees. ac. cn			E-mail; hjkx@ rcees. ac. cn
		http://www.hjkx.ac.cn			http://www. hjkx. ac. cn
出	版	4 星 虫 版 社	Published	by	Science Press
щ	///	北京东黄城根北街 16 号			16 Donghuangchenggen North Street,
		邮政编码:100717			Beijing 100717, China
印刷装	ìΤ	北京北林印刷厂	Printed	by	Beijing Bei Lin Printing House
发	行	斜学出版社	Distributed	by	Science Press
		电话:010-64017032			Tel:010-64017032
		E-mail:journal@mail.sciencep.com			E-mail:journal@mail.sciencep.com
订 购	处	全国各地邮电局	Domestic		All Local Post Offices in China
国外总发	钪行	中国国际图书贸易总公司	Foreign		China International Book Trading Corporation (Guoji
		(北京 399 信箱)			Shudian), P. O. Box 399, Beijing 100044, China

中国标准刊号: ISSN 0250-3301 CN 11-1895/X

国内邮发代号: 2-821

国内定价:90.00元

国外发行代号: M 205

国内外公开发行